

РАЗЛЕТ СФЕРИЧЕСКОГО ОБЪЕМА ГРУНТА ПРИ ВЗРЫВЕ  
В ЦЕНТРЕ СИММЕТРИИ

*Б. А. Виноградов, В. Н. Родионов, Е. И. Шемякин*

(Москва, Новосибирск)

Исследуется разлет сферического объема грунта под действием продуктов взрыва заряда, расположенного в центре шара. Полученные результаты применяются к расчету максимальных скоростей подъема грунта в эпицентре при взрыве на выброс.

§ 1.1. При изучении скоростей подъема грунта при подземном взрыве под поверхностью земли было отмечено следующее обстоятельство. Грунт начинает подниматься с некоторой начальной скоростью, затем эта скорость возрастает, достигает максимума и затем резко падает. Было отмечено также, что возрастание скорости разлета грунта до максимума одинаково проявляется и при разлете шара из грунта, и при движении в эпицентре взрыва на выброс. Это позволило ограничиться опытами на сферических объемах грунта.

При расчете будем считать грунт сыпучим несжимаемым телом, полагая что прохождение сильной волны сжатия нарушило связи в грунте [1] с начальной плотностью  $\rho_0$  и сжало его до предельной плотности  $\rho$ . Решение задачи соответственно и начинается с момента выхода волны сжатия на поверхность; продукты взрыва в это время занимают объем радиуса  $r^0$ .

Расширяющиеся продукты взрыва совершают работу против инерционных сил и сил сопротивления, которые мешают расширению оболочки: в процессе движения толщина сферической оболочки уменьшается, но оболочка не теряет сплошности. Так как ставится задача определения внутренних сил сопротивления, то сопротивлением воздуха и влиянием силы тяжести, по-видимому, можно пренебречь. Предполагается, что в зоне, ближней к центру взрыва, грунт можно считать сыпучим и при этом в качестве связи между главными напряжениями ввести условие пластичности.

2. Рассмотрим задачу, обладающую сферической симметрией. Компоненты тензора напряжений  $\sigma_r$  и  $\sigma_\phi = \sigma_\theta$  являются главными и связаны условием пластичности

$$\sigma_\phi = \alpha \sigma_r, \quad 0 \leq \alpha \leq 1, \quad \alpha = \text{const}$$

Уравнения движения и неразрывности сплошной среды в сферически симметричном случае имеют простой вид

$$\frac{\partial \sigma_r}{\partial r} + 2 \frac{\sigma_r - \sigma_\phi}{r} - p \left( \frac{\partial v}{\partial t} + v \frac{\partial v}{\partial r} \right), \quad \frac{\partial v}{\partial r} + 2 \frac{v}{r} = 0 \quad (1.1)$$

Здесь  $v$  — скорость частицы,  $r$  и  $t$  — расстояние и время,  $p = \text{const}$ .

Для определения радиуса полости  $r^0$  в начальный момент используем соотношение сохранения масс

$$\rho_0 (R^3 - r_0^3) = \rho (R^3 - r^3), \quad \text{или} \quad r^0 = \sqrt[3]{R^3 - (R^3 - r_0^3) \rho_0 / \rho} \quad (12)$$

Поверхность шара в этот момент имеет начальную скорость, равную скорости движения частиц во фронте волны сжатия (вследствие несжи-

маемости среды распад сильного разрыва, происходящий на свободной поверхности, не увеличивает скорости движения частиц). Эта начальная скорость вычисляется на основе расчета поля скоростей при камуфлетном взрыве [2]

$$v_0 = a \frac{C^{2/3}}{R^2 V_{p_0}} \quad (1.3)$$

Здесь  $a$  — постоянная, зависящая от свойств грунта,  $C$  — вес заряда, имеющего радиус  $r_0$ .

Движение грунта рассматривается при обычных краевых условиях.

1°. Напряжение на стенке газовой полости равно давлению продуктов взрыва.

2°. Изменение давления в продуктах взрыва с расширением полости от  $r^\circ$  и далее описывается адиабатой Джонсона для тротила [3]

$$-\sigma_r(r^\circ) = -p_0 \left( \frac{r_0}{r^\circ} \right)^{3\gamma} \quad \left( p_0 = 10^4 \frac{\kappa_2}{c_m^2}, \gamma = 1.25 \right) \quad (1.4)$$

3°. На свободной границе шара напряжение разгружается до атмосферного

$$-\sigma_r(R) = p \quad (1.5)$$

Таким образом, задача определения поля скоростей частиц грунта и движения его поверхностей поставлена полностью. Она допускает представление решения в квадратурах при любых значениях параметра  $\alpha$  из промежутка  $0 \leq \alpha \leq 1$ .

3. Уравнение неразрывности (1.1) имеет простой интеграл

$$v = \frac{\lambda(t)}{r^2} \quad (1.6)$$

где  $\lambda(t)$  — произвольная функция времени.

Подставив (1.6) в первое уравнение (1.1), получим

$$\sigma_r = \frac{\rho \dot{\lambda}}{1 - 2\alpha} \frac{1}{r} + \frac{\rho \lambda^2}{1 + \alpha} \frac{1}{r^4} + C(t) r^{-2(1-\alpha)} \quad (1.7)$$

Чтобы не усложнять дальнейших выкладок с произвольным  $\alpha$ , проиллюстрируем ход дальнейших рассуждений для случая  $\alpha = 0$ , а окончательные результаты приведем для сетки значений  $\alpha = 0; 0.25; 0.50; 0.75$  и  $1.0$ .

Определяя произвольную функцию  $C(t)$  в (1.7) из условия (1.5), для  $\sigma_r(r, t)$  будем иметь

$$\sigma_r = -\frac{1}{r^2} \left[ pR^2 + \rho \dot{\lambda}(t) R + \frac{\rho \lambda^2}{R^2} \right] + \frac{\rho \dot{\lambda}}{r} + \frac{\rho \lambda^2}{r^4}$$

При помощи граничного условия придем к выражению

$$\dot{\lambda} - \frac{R + r^\circ}{R^2 r^{\circ 2}} \lambda^2 = \frac{1}{\rho(R - r^\circ)} \left[ p_0 \left( \frac{r_0}{r^\circ} \right)^{3\gamma} r^{\circ 2} - pR^2 \right]$$

из которого можно найти величину  $r^\circ$

$$r^\circ = (R^3 - M^*)^{1/3} \quad \left( M^* = \frac{3M}{4\pi\rho} \right) \quad (1.8)$$

Здесь  $M$  — масса грунта.

В начальный момент движения  $v(R) = \dot{R}$ ; это позволяет выразить  $\lambda(t)$  через неизвестную функцию  $R(t)$

$$\lambda(t) = \frac{1}{3} \frac{dR^3}{dt} = \frac{1}{3} V \bar{u} \quad (1.9)$$

Здесь  $u(t)$  — новая неизвестная функция, которая будет определяться дифференциальным уравнением

$$\frac{du}{dx} - P(x) = Q(x) \quad (1.10)$$

$$\begin{aligned} P(x, x_0, M^*) &= -\frac{2}{3} \frac{x^{1/3} + (x - M^*)^{1/3}}{x^{1/3}(x - M^*)^{2/3}} \\ Q(x, x_0, M^*) &= \frac{6}{\rho} \frac{P_0[x_0/(x - M^*)]^\gamma (x - M^*)^{2/3} - Px^{2/3}}{x^{1/3} - (x - M^*)^{1/3}} \end{aligned} \quad (1.11)$$

Здесь обозначено  $R^3 = x$  и  $x_0 = r_0^3$ .

Интегрирование уравнения (1.10) с начальными условиями  $u = u_0$  при  $x = x_0$  дает

$$u = \exp \left( - \int_{x_0}^x P(x) dx \right) \left[ \int_{x_0}^x Q(\xi) \exp \left( \int_{\xi_0}^{\xi} P(t) dt \right) d\xi + u_0 \right] \quad (1.12)$$

Интеграл от функции  $P(x)$  берется в конечном виде и выражение (1.12) принимает вид

$$u = A(x, x_0, M^*) \left[ \int_{x_0}^x \frac{Q(x)}{A(x)} dx + u_0 \right] \quad (1.13)$$

где

$$A = \left( \frac{x_0}{x} \right)^{1/3} \frac{1 - [(x_0 - M^*)/x_0]^{1/3}}{1 [(x - M^*)/x]^{1/3}} \quad (1.14)$$

Вернемся к прежним обозначениям и перейдем к относительной переменной  $z = x/C$ , где  $C$  — вес заряда в кг. Тогда

$$u = 9z^{4/3} C^{4/3} v^2, \quad u_0 = 9z_0^{4/3} C^{4/3} v_0^2$$

и для скорости движения внешней сферы, ограничивающей грунтовую оболочку, получим выражение

$$v^2 = \frac{2A}{3\rho z^{4/3}} \left( \int_{z_0}^z \frac{Q(z, z_0, M_0)}{A(z, z_0, M_0)} dz + \frac{3}{2} \rho z_0^{4/3} v_0^2 \right) \quad (1.15)$$

Здесь функции  $Q$  и  $A$  определены (1.11) и (1.14) с заменой аргументов  $x, x_0, M^*$  соответственно на  $z, z_0, M_0$ , которые связаны между собой как

$$z = \frac{x}{C}, \quad z_0 = \frac{x_0}{C}, \quad M_0 = \frac{M^*}{C}$$

В формулу (1.15) для квадрата скорости входит величина  $\rho$  — плотность грунта после сжатия. Эта величина, как было отмечено, является постоянной и равна

$$\rho = \rho_0 \frac{z_0}{M_0} \quad (1.16)$$

Подставим в (1.15) выражение для  $\rho$  из (1.16) и значение для  $v_0$  из (1.3), преобразовав последнее к новой переменной  $x/C = z$ , получим

$$v^2 = \frac{2AM_0 z^{-4/3}}{3\rho_0 z_0} \left( \int_{z_0}^z \frac{Q(zz_0 M_0)}{A(zz_0 M_0)} dz + \frac{3}{2} a^2 \frac{z_0}{M_0} \right) \quad (1.17)$$

Пользуясь данными Джонса для тротила и вычисляя радиус лигтого тротилового заряда, получим

$$z_0 = 0.15 \cdot 10^{-3}$$

Окончательно для  $\alpha = 0$  получаем формулу (1.17), определяющую квадрат скорости, в которой  $A$  имеет прежнее выражение из (1.14), а функция  $Q$  приобретает вид

$$Q(z, 0.15 \cdot 10^{-3}, M_0) = 100 \frac{10^4 [0.15 \cdot 10^{-3} / (z - M_0)]^{1.25} (z - M_0)^{\frac{2}{3}} - z^{\frac{8}{3}}}{z^{\frac{1}{6}} - (z - M_0)^{\frac{1}{6}}}$$

Для определения зависимости скорости движения сферы от внешнего радиуса сферы и максимальных значений скоростей следует вычислить численно интеграл в формуле (1.17). Примеры таких вычислений и полученные результаты будут приведены в следующем параграфе.

В заключение приведем формулы для вычисления квадрата скорости для некоторых значений  $\alpha$

$\alpha = 0.25$

$$\begin{aligned} v^2 &= \frac{AM_0}{3\rho_0 z_0 z^{\frac{4}{3}}} \left( \int_{z_0}^z \frac{Q}{A} dz + 3a^2 \frac{z_0}{M_0} \right) \\ A &= \left( \frac{z_0}{z} \right)^{\frac{4}{15}} \left( \frac{1 - [(z_0 - M_0)/z_0]^{\frac{1}{6}}}{1 - [(z - M_0)/z]^{\frac{1}{6}}} \right)^{\frac{8}{5}} \\ Q &= 100 \frac{10^4 Z^{1.25} (z - M_0)^{\frac{1}{6}} - z^{\frac{1}{2}}}{z^{\frac{1}{6}} - (z - M_0)^{\frac{1}{6}}}, \quad Z = \frac{0.15 \cdot 10^{-3}}{z - M_0} \end{aligned} \quad (1.18)$$

$\alpha = 0.5$

$$\begin{aligned} v^2 &= \frac{2AM_0}{\rho_0 z_0 z^{\frac{4}{3}}} \left( \int_{z_0}^z \frac{Q}{A} dz + \frac{a^2 z_0}{2M_0} \right) \\ A &= \left( \frac{\ln[z_0/(z_0 - M_0)]}{\ln[z/(z - M_0)]} \right)^{\frac{4}{3}}, \quad Q = 100 \frac{10^4 Z^{1.25} (z - M_0)^{\frac{1}{6}} - z^{\frac{1}{2}}}{\ln[z/(z - M_0)]} \end{aligned} \quad (1.19)$$

$\alpha = 0.75$

$$\begin{aligned} v^2 &= \frac{AM_0}{3\rho_0 z_0 z^{\frac{4}{3}}} \left( \int_{z_1}^z \frac{Q}{A} dz + \frac{3a^2 z_0}{M_0} \right) \\ A &= \left( \frac{z - M_0}{z_0 - M_0} \right)^{\frac{4}{21}} \left( \frac{1 - [(z_0 - M_0)/z_0]^{\frac{1}{6}}}{1 - [(z_0 - M_0)/z]^{\frac{1}{6}}} \right)^{\frac{8}{7}} \end{aligned} \quad (1.20)$$

$$Q = 100 \frac{10^4 Z^{1.25} (z - M_0)^{\frac{1}{6}} - z^{\frac{1}{2}}}{z^{\frac{1}{6}} - (z - M_0)^{\frac{1}{6}}} [z(z - M_0)]^{\frac{1}{6}}$$

$\alpha = 1.0$

$$v^2 = \frac{2AM_0}{3\rho_0 z_0 z^{\frac{4}{3}}} \left( \int_{z_0}^z \frac{Q}{A} dz - \frac{3a^2 z_0}{2M_0} \right) \quad (1.21)$$

$$A = \left( \frac{z - M_0}{z_0 - M_0} \right)^{\frac{1}{3}} \left( \frac{1 - [(z_0 - M_0)/z_0]^{\frac{1}{3}}}{1 - [(z - M_0)/z]^{\frac{1}{3}}} \right), \quad Q = 100 \frac{10^4 Z^{1.25} - 1}{z^{\frac{1}{3}} - (z - M_0)^{\frac{1}{3}}} [z(z - M_0)]^{\frac{1}{3}}$$

4. Рассмотрим некоторые следствия из формул (1.17) — (1.21), полученные численным интегрированием.

Как было отмечено, основной интерес представляет зависимость максимальной скорости разлета сферической оболочки от начального радиуса этой оболочки. В табл. 1—4 даны значения  $v_{\max}$  для двух значений приведенного радиуса сферы ( $z_0 = 0.125$  и  $z_0 = 0.51$ ) в зависимости от  $\alpha$ , пробегающего принятую сетку значений, и для значений коэффициента сжимаемости ( $\xi = 1 - \rho_0 / \rho$ ), равных 1.16% и 5.60%. (Начальное значение  $\rho_0$  принято равным плотности песчаного грунта, из которого изготавливались грунтовые шары в лабораторных опытах, и равнялось  $\rho = 1.7$ ).

Первые же ориентировочные сравнения с опытными данными показали, что значение  $\alpha$  следует взять близким к 0.5 и менять значение сжимаемости

мости  $\xi$  и приведенного радиуса  $z_0$  в более широких пределах, чем в табл. 1. В соответствии с этим в табл. 2 приведены расчетные данные величины  $v_{\max}$  для пяти значений  $z_0$  и пяти значений  $\xi$  при  $\alpha = 0.5; \rho_0 = 1.7$ .

Таблица 1

	$\alpha$	0	0.25	0.5	0.75	1.0
$z_0 = 0.125$	$a^2$	4.25	7.2	10.0	26.4	42
$\xi = 5.6\%$	$v_{\max}$	21	25	33	41	49
$z_0 = 0.125$	$a^2$	4.25	7.2	10.0	26.4	42
$\xi = 1.16\%$	$v_{\max}$	30	32	35	57	73
$z_0 = 0.51$	$a^2$	3.55	6.24	10.0	29	56
$\xi = 5.6\%$	$v_{\max}$	3.5	5.5	5.7	11.5	18.7
$z_0 = 1.51$	$a^2$	3.55	6.24	10.0	29	56
$\xi = 1.16\%$	$v_{\max}$	5.3	8.2	10.5	16.5	26.6

Таблица 2

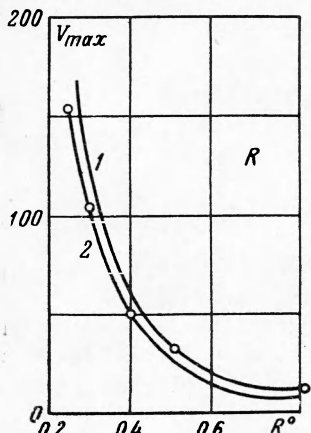
	$\xi \%$	2	11	22	33	44%
$z_0 = 0.045$	$v_{\max}$	86.5	63.5	61.0	46.5	40.0
	$\xi$	1.16	7	20	33	53
$z_0 = 0.015$	$v_{\max}$	200.0	150.0	128.0	120.0	113.0
	$\xi$	1.16	3			
$z_0 = 0.343$	$v_{\max}$	35.0	24.5			
	$\xi$	1	1.16	5.6		
$z_0 = 0.510$	$v_{\max}$	12.0	10.5	5.7		
	$\xi$	1.16	5.6	25	50	
$z_0 = 0.1$	$v_{\max}$	35	33	24.5	20.0	

Результаты сопоставления расчетных и экспериментальных данных представлены на фиг. 1. Как следует из сравнения, совпадение можно считать удовлетворительным, что подтверждает следующие два предположения, заложенные в основу расчета.

1) В зоне, непосредственно окружающей заряд, грунт следует считать «пластической» средой с коэффициентом  $\alpha = 0.5$ ; представление о грунте

в этой зоне как о жидкости ( $\alpha = 1.0$ ) приводит к существенному расхождению с экспериментом (сравним данные, приведенные в табл. 1, для значений  $\alpha = 0.5$  и  $\alpha = 1.0$ ).

2) В этой же зоне, до расстояний  $\sim 10-15 r_0$  величина сжимаемости уплотненного грунта слабо проявляется на зависимости  $v_{\max}(R/\sqrt[3]{C})$ , что позволяет при расчетах рассматривать течение грунта как течение несжимаемой среды.



Фиг. 1. Сравнение вычисленных результатов с экспериментальными данными:  $v_{\max}$ , в м/сек,  $R^3 = R/C^{1/3}$  в  $\text{м}/\kappa\Gamma^{1/3}$ , 1 —  $\xi = 1.16\%$ ; 2 —  $\xi = 5.6\%$ . Кружочками показаны экспериментальные точки

§ 2. При определенных ограничениях, которые будут сформулированы в этом параграфе, результаты расчета зависимости  $v_{\max}(R/\sqrt[3]{C})$  из § 1 могут

быть применены к расчету  $v_{\max}(w / \sqrt[3]{C})$  в реальной задаче о разрыве вблизи границы полупространства ( $w$  — глубина центра заряда под свободной поверхностью грунта).

Прежде чем обратиться к расчетам, произведем сравнение объемов полостей, занятых продуктами взрыва при камуфлетном взрыве и при взрыве вблизи свободной поверхности грунта (при взрыве на выброс).

На фиг. 2 приведены два графика. Кривая 2 представляет зависимость «безразмерного» объема полости от времени для камуфлетного взрыва. Лабораторными опытами показано, что закон расширения полости в начальной стадии одинаков и в случае камуфлета, и в случае выброса. Но в случае камуфлета развитие полости заканчивается, когда ее объем достигает некоторой величины, постоянной для данного грунта. Например, для глинистого грунта в естественном залегании средний объем полости при камуфлетном взрыве составил 250 л на 1 кг ВВ. Поэтому, начиная с  $v/C=0.25$ , кривая 2 представляет собой прямую линию, параллельную оси абсцисс.

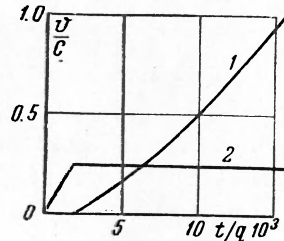
Кривая 1 описывает зависимость объема «выпора» (объема поднявшегося над поверхностью грунта) от времени. Эта зависимость построена по данным фиг. 3 и зависимости высоты поднимающегося купола  $H$  от времени для данного взрыва. Кривая 1 начинается в момент времени  $t_1$ , когда волна сжатия выходит на поверхность грунта.

Из данных фиг. 2 следует, что в течение времени  $\sim 0.03$  сек. для заряда весом  $10^3$  кг, отсчитывая от момента взрыва, объем поднявшегося грунта много меньше объема каверны. Можно считать, что в течение этого промежутка времени расширение полости при выбросе происходит так же, как и в случае камуфлетного взрыва (фиг. 4, а). Затем, по мере подъема купола грунта, происходит искажение симметричной формы полости: в направлении к свободной поверхности ее объем увеличивается (происходит «выдувание» грунта продуктами взрыва).

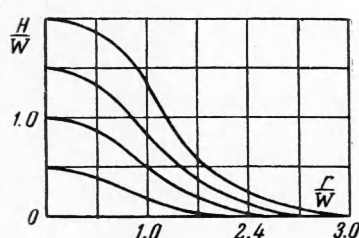
Исходя из допущения о несжимаемости грунта, можно считать, что приращение объема каверны на этой стадии равно объему «выпора» грунта (фиг. 4, б). Тогда, объемом полости при камуфлетном взрыве, т. е. функцию  $f(z) = z - M_0$  в формулах для скоростей разлета сферической оболочки, полученных в § 1.

Очевидно, что применение результатов § 1 ограничено в случае реального взрыва на выброс, когда картина разлета не обладает сферической симметрией. В этом случае сделана попытка применить результаты расчета с функцией  $f(z)$ , отвечающей данному взрыву, для участков грунта, расположенных у вертикальной оси взрыва там, где движение грунта в опытах происходит практически по радиусам, как и в сферически симметричном случае.

В табл. 3 приведены результаты расчетов, выполненных для сравнения с результатами полевых опытов на двух типах грунта — глина и лессовидный суглинок — по измерению максимальной скорости подъема при различных «заглублениях» заряда  $z_0$ .



Фиг. 2. Сравнение объема выбора грунта с объемом каверны камуфлетного взрыва; здесь  $v$  — объем,  $q = C^{1/3}$ ,  $t$  — время



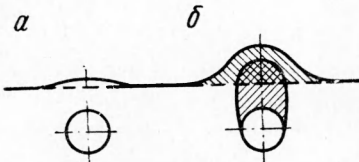
Фиг. 3. Усредненные куполы взрывов в координатах, отнесенных к глубине заложения заряда

суммируя объем «выпора» с  $z$ , можно определить объем полости при выбросе как функцию времени, т. е. функцию  $f(z) = z - M_0$  в формулах для скоростей разлета сферической оболочки, полученных в § 1.

Очевидно, что применение результатов § 1 ограничено в случае реального взрыва на выброс, когда картина разлета не обладает сферической симметрией. В этом случае сделана попытка применить результаты расчета с функцией  $f(z)$ , отвечающей данному взрыву, для участков грунта, расположенных у вертикальной оси взрыва там, где движение грунта в опытах происходит практически по радиусам, как и в сферически симметричном случае.

В табл. 3 приведены результаты расчетов, выполненных для сравнения с результатами полевых опытов на двух типах грунта — глина и лессовидный суглинок — по измерению максимальной скорости подъема при различных «заглублениях» заряда  $z_0$ .

Закон развития полости во времени лёссовидного суглинка принят на основании опытных данных



Фиг. 4. Схематическое изображение подъема грунта и расширения каверны при выбросе

В таблице 4 проведено сравнение вычисленных скоростей с имеющимися экспериментальными значениями.

$$\frac{r^3}{C} = \frac{10t}{\sqrt{\rho_0} C^{1/3}} \quad (2.1)$$

и, как было отмечено выше,  $\alpha$  следует полагать в расчетах равным 0.5; закон развития полости для глины

$$\frac{r^3}{C} = \frac{50t}{\sqrt{\rho_0} C^{1/3}} \quad (2.2)$$

и  $\alpha$  полагалось равным 0.50 или 0.75.

Таблица 3

$z_0$	Грунт	$\alpha$	Формула закона развития каверны	$M_0$	$v_{max}$ , м/сек
0.343	лёсс	0.5	2.1	0.328	34
0.125	"	0.5	2.1	0.114	68
0.217	"	0.5	2.1	0.204	45
0.343	глина	0.5	2.1	0.333	25
0.162	"	0.5	2.1	0.154	53
0.091	"	0.5	2.1	0.085	88
0.343	"	0.5	2.2	0.29	53
0.162	"	0.5	2.2	0.122	81
0.091	"	0.5	2.2	0.059	116
0.343	"	0.75	2.1	0.333	32
0.343	"	0.75	2.1	0.29	56

Как следует из табл. 4, опытные и расчетные данные находятся в удовлетворительном соответствии, если для лёссовидного суглинка и глины в расчетах положить  $\alpha = 0.5$ , а законы расширения полости принять на основании опыта в виде (2.1) и (2.2).

Результаты сравнения подтверждают сделанные предположения и позволяют утверждать, что для расчетов максимальных скоростей подъема грунта в эпицентральной области при взрыве на выброс можно применять модель пластической несжимаемой среды, с постоянным уплотнением, при этом  $\alpha = 0.5$ , а сжимаемость  $\xi$  равна 2—5%.

В заключение авторы благодарят А. Н. Ромашова, любезно разрешившего воспользоваться результатами опытов по разлету грунтовой сферической оболочки, а также К. Е. Губкина за ценные обсуждения результатов.

Таблица 4

$z_0$	Грунт	Вычисленное $v_{max}$ , м/сек	$v_{max}$ , м/сек, опытное
0.125	лёсс	68	73
1.217	"	45	43
0.343	"	34	33
0.091	глина	116	95
0.162	"	81	66
0.343	"	53	42

Поступила  
10 I 1961

#### ЛИТЕРАТУРА

- Компанеев А. С. Ударные волны в пластической уплотняющейся среде. ДАН СССР, 1956, № 1, стр. 109.
- Родионов В. Н., Ромашов А. Н., Сухотин А. П. Взрыв в неограниченной уплотняющейся среде. ДАН СССР, 1958, № 1, стр. 123.
- Коул Р. Подводные взрывы. ИИЛ, 1950.